

(دریافت مقاله: ۱۳۸۹/۱۲/۷؛ دریافت نسخه نهایی: ۱۳۹۰/۴/۱۵)

CPT

CPT

CPT

به قضیه مشهور CPT، چون نقض لورنتس در نظریه‌های میدان با نقض تقارن CPT همراه است [۷]، مدل استاندارد تعمیم یافته نقض تقارن CPT را هم توصیف می‌کند.
تبديل CPT ارتباط بین هر ذره و پاد ذره آن را فراهم می‌کند و پیشنهاد می‌کند که پایستگی CPT با تقارن بین ماده و پاد ماده ارتباط تنگاتنگی دارد. اما اندازه‌گیری‌های حساسی که روی بعضی از ذرات و پاد ذرات آنها انجام گرفته، نشان دهنده اختلافات خیلی جزئی در حد دقت‌های اندازه‌گیری است. برای مثال اندازه‌گیری‌های انجام شده بر روی کائون خنثی نشان می‌دهد که اختلاف جرم کائون با پاد کائون دقیقی در حدود $\delta_m(K^\circ) \approx 10^{-18}$ دارد.

در این مقاله هدف ما به دست آوردن قواعد فایمن برای مدل استاندارد تعمیم یافته است. با استفاده از این قوانین

در سال‌های اخیر وجود شواهد نظری مبنی بر شکست تقارن‌های فضا-زمان، میدان وسیعی را برای تحقیق در متن پدیده‌شناسی مقیاس پلانک به وجود آورده است [۱]. به طوری که تحقیقات آزمایشگاهی برای نقض ناوردایی تقارن لورنتسی و نسبیتی در گستره وسیعی از سیستم‌ها انجام شده است [۲]. با مطالعات دقیق بر روی منابعی از قبیل کهکشان‌های فعال و پس زمینه‌های میکروموجی کیهانی، می‌توان به محدودیت‌های سمتی و ناهمسانگردی در فضا پی برد [۳ و ۴]. سیگنال‌های مشاهده شده برای نقض تقارن لورنتس، با یک مدل مستقل که از نظریه میدان نشأت می‌گیرد، توصیف می‌شود [۵ و ۶]. این مدل، مدل استاندارد تعمیم یافته (SME) نامیده می‌شود که نقض تقارن لورنتس موضعی و سراسری در آن گنجانده شده است. با توجه

$$\begin{aligned} L'_d &= \frac{1}{\gamma} d_\alpha \bar{\Psi} \gamma_S \tilde{\partial}^\alpha \Psi, \\ L'_c &= \frac{1}{\gamma} i e_\mu^\alpha \bar{\Psi} \sigma^{\mu\nu} \tilde{\partial}_\alpha \Psi, \quad k = 1. \end{aligned} \quad (3)$$

در اینجا همه ضرایب به عنوان میدان‌های پس زمینه‌ای برای شکست خود به خودی تقارن عمل می‌کنند. خود این ضرایب ناوردای لورنتسی هستند و با فرض هرمیتی بودن نظریه این ضرایب باید حقیقی باشند. اگر دو جمله L'_a, L'_b را در نظر بگیریم، برای فرمیون‌ها لاگرانژی مدل و معادله دیراک تغییر یافته به شکل زیرخواهد بود:

$$L = \frac{1}{\gamma} i \bar{\Psi} \gamma^\mu \tilde{\partial}_\mu \Psi - a_\mu \bar{\Psi} \gamma^\mu \Psi - b_\mu \bar{\Psi} \gamma_5 \Psi - m \bar{\Psi} \Psi, \quad (4)$$

$$\left(\gamma^\mu p_\mu - a_\mu \gamma^\mu - b_\mu \gamma_5 \gamma^\mu - m \right) \Psi = 0. \quad (5)$$

معادله دیراک تغییر یافته (5) را می‌توان با در نظر گرفتن یک بستگی موج تخت به شکل،

$$\Psi(x) = e^{-i\lambda_\mu x^\mu} w(\vec{\lambda}), \quad (6)$$

حل کرد. در این معادله، $w(\vec{\lambda})$ اسپینور چهارتایی هست که معادله زیر را ارضاء می‌کند.

$$\left(\lambda_\mu \gamma^\mu - a_\mu \gamma^\mu - b_\mu \gamma_5 \gamma^\mu - m \right) w(\vec{\lambda}) = 0, \quad (7)$$

برای وجود جواب‌های غیر بدیهی، دترمینان عملکری که روی $w(\vec{\lambda})$ عمل می‌کند باید صفر شود. این بدان معنی است که λ^μ که در آن $(\vec{\lambda}) = \lambda^\mu$ ، باید معادله زیر را ارضاء کند [۶].

$$\begin{aligned} &\left[(\lambda - a)^\mu - b^\mu - m^\mu \right] + b^\mu (\lambda - a)^\mu \\ &- 4 \left[b^\mu (\lambda_\mu - a_\mu) \right] = 0. \end{aligned} \quad (8)$$

با توجه به ناوردایی جمله درجه چهار در معادله (8)، تحت تبدیل $(\lambda_\mu - a_\mu) \rightarrow -(\lambda_\mu - a_\mu)$ ، به ازای هر حل $(\vec{\lambda})$ حل دوم $(\vec{\lambda})$ وجود دارد که به شکل زیر داده می‌شود:

$$\lambda_{-(\alpha)}^\mu (\vec{\lambda}) = -\lambda_{+(\alpha)}^\mu (-\vec{\lambda} + 2\vec{a}) + 2a^\mu, \quad \alpha = 1, 2 \quad (9)$$

برخلاف مورد دیراک معمولی، بزرگی هر یک از این چهار ریشه، در نتیجه وجود جملات نقض CPT، با هم فرق می‌کنند [۳ و ۴]. توابع موج متناظر با ویژه مقادیر $(\vec{\lambda})$ و

می‌توان برهم‌کنش بین ذرات و همچنین سطح مقطع پراکنده‌گی و دامنه واپاشی را به دست آورد و با توجه به مقادیر تجربی آنها، بر روی ضرایب نقض لورنتس حد گذاشت. در ادامه ابتدا SME را به عنوان مدلی برای نقض تقارن لورنتس و CPT بیان می‌کنیم و از روی آن مدل، قوانین فاینمن را در صورت وجود نقض تقارن لورنتس به دست می‌آوریم.

یک مدل ساده که شامل جملات کلی برای نقض خود به خودی CPT باشد، در نظر می‌گیریم. این مدل شامل یک میدان جرم دار $(x) \Psi$ با چگالی لاگرانژی $L = L_0 - L'$ که در آن L_0 لاگرانژی دیراک میدان آزاد برای فرمیون $(x) \Psi$ به جرم m است و L' شامل جمله‌های اضافی است که باعث نقض خود به خودی CPT می‌شوند [۸]. L' یک لاگرانژی با بعد جرمی چهار است که از برهم‌کنش‌های ناوردایی پوانکاره $(x) \Psi$ با تانسور لورنتس T به دست می‌آید. با توجه به اینکه L' باید دارای دیمانسیون جرمی چهار باشد، در لاگرانژی مؤثر، هر ترکیبی از میدان‌ها و مشتق‌ها که دیمانسیون جرمی بزرگتر از چهار دارند، باید یک ضریب وزنی با توان k داشته باشند. این ضریب به شکل یک جرم M وارد می‌شود که بزرگتر از مقیاس جرم m نظریه مؤثر است. در نظریه واقعی M ممکن است جرم پلانک باشد. پس در اینجا یک سری جملات L' به دست می‌آید که با اندیس k برچسب می‌خورند. برای $2 \leq k \leq 4$ ، L' به شکل زیر است [۶]:

$$L' \supset \frac{\lambda}{M} < T > \bar{\Psi} \Gamma(i\partial)^k \Psi + h.c., \quad (1)$$

در این رابطه λ یک ثابت جفت شدگی بدونه بعد است.

$i\partial$ چهار مشتق از مرتبه k را نشان می‌دهد. Γ ساختار ماتریسی گاما را نشان می‌دهد. برای دو حالت $k=1$ و $k=2$ لاگرانژی L' به ترتیب به شکل‌های زیر در می‌آید [۵]:

$$L'_a = a_\mu \bar{\Psi} \gamma^\mu \Psi, \quad (2)$$

$$L'_b = b_\mu \bar{\Psi} \gamma_5 \Psi, \quad k=2$$

$$L'_c = \frac{1}{\gamma} i c_\alpha \bar{\Psi} \tilde{\partial}^\alpha \Psi,$$

$$\sum_{\alpha=1}^2 \left[\frac{m}{E_u^\alpha(\vec{p})} u^\alpha(\vec{p}) \times u^{*\alpha}(\vec{p}) + \frac{m}{E_v^\alpha(-\vec{p})} v^\alpha(-\vec{p}) \times v^{*\alpha}(-\vec{p}) \right] = 0. \quad (15)$$

SME . .

مدل استاندارد را با اضافه کردن جملات نقض لورنتس در همه بخش‌های لپتونی، کوارکی، یوکاوا و هیگز تعمیم می‌دهیم. این در حالی است که هم زمان ناوردایی پیمانه‌ای مدل تحت تبدیل $SU(3) \times SU(2) \times SU(1)$ حفظ می‌شود. چون نقض لورنتس و CPT در طبیعت مشاهده نشده است، هر یک از ثابت‌های نقض که در تعمیم مدل استاندارد ظاهر می‌شوند باید کوچک باشند. در اینجا جملات نقض لورنتس به دو بخش جملات CPT زوج و CPT فرد تقسیم می‌شوند. جملات CPT زوج CPT جملاتی هستند که تقارن لورنتس را می‌شکنند ولی تقارن CPT را حفظ می‌کنند، ولی جملات CPT فرد جملاتی هستند که هم تقارن لورنتس و هم تقارن CPT را می‌شکنند.

در فرمول بندی لاگرانژی، چند تابی‌های کوارکی و لپتونی چپ دست و راست دست را با نمادهای زیر نشان می‌دهیم:

$$L_A = \begin{pmatrix} v_A \\ l_A \end{pmatrix}_L, \quad R_A = (l_A)_R$$

$$Q_A = \begin{pmatrix} u_A \\ d_A \end{pmatrix}_L, \quad U_A = (u_A)_R, D_A = (d_A)_R$$

$$d_A = (d, s, b), \quad u_A = (u, c, t), \quad (16)$$

$$v_A = (v_e, v_\mu, v_\tau) \quad l_A = (e, \mu, \tau), \quad A = 1, 2, 3 \quad (17)$$

برای هر کدام از بخش‌های کوارکی، لپتونی، هیگز و یوکاوا در مدل استاندارد، جملات نقض لورنتس به شکل زیر اضافه می‌شوند [۶]:

$$L_{lepton}^{CPT-even} = \frac{1}{4} i (c_L)_{\mu\nu AB} \bar{L}_A \gamma^\mu \bar{D}^\nu L_B + \quad (18)$$

$$\frac{1}{4} i (c_R)_{\mu\nu AB} \bar{R}_A \gamma^\mu \bar{D}^\nu R_B,$$

$$L_{lepton}^{CPT-odd} = -(a_L)_{\mu AB} \bar{L}_A \gamma^\mu L_B - \quad (19)$$

$$-(a_R)_{\mu AB} \bar{R}_A \gamma^\mu R_B,$$

$\lambda_+(\vec{\lambda})$ به ترتیب حالت‌های انرژی منفی و مثبت نامیده می‌شوند. ویژه توابع مربوط به دو ویژه انرژی $\lambda_-(\vec{\lambda})$ می‌توانند به عنوان توابع موج با انرژی مثبت و تکانه معکوس در مدل معمولی، تفسیر شوند. در اینجا اسپینورهای فضا-تکانه

$v^\alpha(\vec{p})$ ، $u^\alpha(\vec{p})$ به شکل زیر تعریف می‌شوند:

$$\Psi^\alpha(x) = \exp(ip_\nu^\alpha x) v^\alpha(p),$$

$$\Psi^\alpha(x) = \exp(-ip_\mu^\alpha x) u^\alpha(p), \quad (10)$$

در اینجا چهاربردارها به شکل زیر داده می‌شوند:

$$p_\mu^\alpha = (E_\mu^\alpha, \vec{P}), \quad E_\nu^\alpha(\vec{P}) = -\lambda_{-(\alpha)}(\vec{P})$$

$$p_\mu^\alpha = (E_\nu^\alpha, \vec{P}), \quad E_\mu^\alpha(\vec{P}) = -\lambda_{+(\alpha)}(\vec{P}).$$

چهار اسپینورهای $v^\alpha(\vec{p})$ ، $u^\alpha(\vec{p})$ نسبت به هم متعامد هستند و بهنجارش آنها می‌توانند به طور اختیاری انتخاب شود.

هر چند اعمال شرط $\Psi^c = \Psi^c(\Psi^c)$ محدودیت جزئی را ایجاد می‌کند. با این ملاحظات می‌توان به شرط تعامد زیر رسید:

$$u^{*\alpha}(\vec{P}) v^\alpha(-\vec{P}) = 0, \quad v^{*\alpha}(-\vec{P}) u^\alpha(\vec{P}) = 0,$$

$$u^{*\alpha}(\vec{P}) u^\alpha(\vec{P}) = \delta^{\alpha\beta} \frac{E_u^\alpha}{m},$$

$$v^{*\alpha}(\vec{P}) v^\alpha(\vec{P}) = \delta^{\alpha\beta} \frac{E_v^\alpha}{m}. \quad (12)$$

با به کار بردن ماتریس‌های دیراک در معادله دیراک تغییر یافته و استفاده از شرایط تعامد (۱۲)، اسپینورهای و انتشار گر تغییر یافته را می‌توان به شکل‌های زیر به دست آورد:

$$u^\alpha(\vec{P}) = N_u^\alpha \begin{pmatrix} \varphi^{(\alpha)} \\ X_u^{(\alpha)} \varphi^{(\alpha)} \end{pmatrix},$$

$$v^\alpha(\vec{P}) = N_v^\alpha \begin{pmatrix} X_v^{(\alpha)} \chi^{(\alpha)} \\ \chi^{(\alpha)} \end{pmatrix},$$

$$X_u^{(\alpha)} = \frac{\left(E_u^{(\alpha)} - a_\circ + m + \vec{b} \cdot \vec{\sigma} \right) \left[(\vec{P} - \vec{a}) \cdot \vec{\sigma} - b_\circ \right]}{\left(E_u^{(\alpha)} - a_\circ + m \right)^2 - b^2},$$

$$S(P) = \frac{i}{p_\mu \gamma^\mu - a_\mu \gamma^\mu - b_\mu \gamma_5 \gamma^\mu - m}. \quad (14)$$

همچنین با استفاده از روابط تعامد (۱۲)، رابطه کاملیت را می‌توان به شکل زیر نوشت:

جدول ۱. انتشارگرها در SME

$S = \frac{i}{(\gamma^\mu p_\mu - m - b_\mu \gamma_5 \gamma^\mu - \frac{1}{2} H_{\mu\nu} \sigma^{\mu\nu} + c_{\mu\nu} \gamma^\nu p^\mu + d_{\nu\mu} \gamma_5 \gamma^\nu p^\mu)}$	
$S = \frac{i}{(p^2 + \frac{1}{2}(k_{\phi\phi})^{\mu\nu} p_\mu p_\nu + \frac{1}{2}i(k_\phi)^{\mu\nu} p_\mu - M_H^2)}$	
$S = \frac{i}{(g^{\alpha\beta} p^2 - p^\alpha p^\beta - 2(k_F)^{\alpha\beta\gamma\delta} p_\alpha p_\beta)}$	

آورده‌ایم. بعد از انجام محاسبات، یک سری جریان‌های تغییر طعم به دست می‌آوریم که در مدل استاندارد مشابه آنها وجود ندارد:

$$J^{\mu W} = \bar{l}_A \left((c_L)_{\mu\nu AB} + (d_L)_{\mu\nu AB} \right) \gamma^\mu \frac{(1-\gamma_5)}{\sqrt{2}} v_B, \quad (25)$$

$$J^{\mu Z} = \frac{(\cos^\gamma \theta_W - \sin^\gamma \theta_W)}{\sqrt{2}} \bar{l}_A \left((c_L)_{\mu\nu AB} + (d_L)_{\mu\nu AB} \right) \quad (26)$$

$$\times \gamma^\mu l_{B_L} + \bar{l}_{A_R} \left[\sin^\gamma \theta_W \left((d_R)_{\mu\nu AB} - (c_R)_{\mu\nu AB} \right) \right] l_{B_R},$$

$$J^{\mu Z} = \bar{v}_A \left\{ \frac{\cos^\gamma \theta_W}{\sqrt{2}} \left((-c_L)_{\mu\nu AB} + (d_L)_{\mu\nu AB} \right) \right. \\ \left. - \frac{\sin^\gamma \theta_W}{\sqrt{2}} \left((d_L)_{\mu\nu AB} + (c_L)_{\mu\nu AB} \right) \right\} \gamma^\mu (1-\gamma_5) \quad (27)$$

$$+ \left[\sin^\gamma \theta_W \left((d_R)_{\mu\nu AB} - (c_R)_{\mu\nu AB} \right) \right] \frac{(1+\gamma_5)}{\sqrt{2}} v_B,$$

همچنین برای برهمنش ذره هیگز دو نوع لاگرانژی جدید به شکل زیر به دست می‌آوریم:

$$L_{ZHH}^{CPT} = -\frac{1}{4} (k_{\varphi\varphi})^{\mu\nu} \frac{g}{\cos \theta_W} (Z_\mu H \partial_\mu H) +$$

$$\frac{1}{4} \left((k_{\varphi B})^{\mu\nu} \sin \theta_W + \frac{1}{2} (k_{\varphi W})^{\mu\nu} \cos \theta_W \right) H^\nu Z_{\mu\nu} + \quad (28)$$

$$\frac{1}{4} (k_\varphi)^\mu g \left(\cos \theta_W + \frac{\sin^\gamma \theta_W}{\cos \theta_W} \right) H^\nu Z_\mu,$$

$$L_{\gamma HH}^{CPT} = -\frac{1}{4} \left((k_{\varphi B})^{\mu\nu} \cos \theta_W - \frac{1}{2} (k_{\varphi W})^{\mu\nu} \sin \theta_W \right) H^\nu F_{\mu\nu}. \quad (29)$$

این لاگرانژی‌ها بیانگر وجود دو رأس SME جدید در SME می‌باشد که در مدل استاندارد وجود ندارند. این رأس‌ها را به همراه فاکتورهای رأسی در شکل‌های ۱ و ۲ آورده‌ایم:

$$L_{quark}^{CPT-even} = \frac{1}{\sqrt{2}} i (c_Q)_{\mu\nu AB} \bar{Q}_A \gamma^\mu \bar{D}^\nu Q_B \\ + \frac{1}{\sqrt{2}} i (c_U)_{\mu\nu AB} \bar{U}_A \gamma^\mu \bar{D}^\nu U_B + \quad (20)$$

$$\frac{1}{\sqrt{2}} i (c_D)_{\mu\nu AB} \bar{D}_A \gamma^\mu \bar{D}^\nu D_B, \\ L_{quark}^{CPT-odd} = - (a_Q)_{\mu AB} \bar{Q}_A \gamma^\mu Q_B - \\ - (a_U)_{\mu AB} \bar{U}_A \gamma^\mu U_B - (a_D)_{\mu AB} \bar{D}_A \gamma^\mu D_B, \quad (21)$$

$$L_{quark}^{CPT-even} = -\frac{1}{\sqrt{2}} \{ (H_L)_{\mu\nu AB} \bar{L}_A \varphi \sigma^{\mu\nu} R_B \\ + (H_U)_{\mu\nu AB} \bar{Q}_A \varphi^c \sigma^{\mu\nu} U_B + \\ (H_D)_{\mu\nu AB} \bar{Q}_A \varphi \sigma^{\mu\nu} D_B \} + h.c., \quad (22)$$

$$L_{Higgs}^{CPT-even} = \frac{1}{\sqrt{2}} (k_{\varphi\varphi})^{\mu\nu} (D_\mu \varphi)^* D_\nu \varphi, + h.c. - \\ \frac{1}{\sqrt{2}} (k_{\varphi B})^{\mu\nu} \varphi^* \varphi B_{\mu\nu} - \frac{1}{\sqrt{2}} (k_{\varphi W})^{\mu\nu} \varphi^* W_{\mu\nu} \varphi \quad (23)$$

$$L_{Higgs}^{CPT-odd} = i (k_\varphi)^\mu \varphi^* D_\mu \varphi, + h.c. \quad (24)$$

بدین ترتیب لاگرانژی SME از جمع لاگرانژی‌های ۱۸ تا ۱۸ با لاگرانژی‌های معادل در مدل استاندارد به دست خواهد آمد.

۳. قواعد فاینمن در SME

اکنون با در دست داشتن لاگرانژی SEM می‌توان رأس‌های برهمنشی و انتشارگرها را تصحیح کرد. جزئیات محاسبات برای برهمنش لپتون‌ها، ذره هیگز و برهمنش یوکاوا را در پیوست‌ها آورده شده است، همچنین انتشارگر برای ذرات لپتونی، کوارکی، فوتون و ذره هیگز و رأس‌های برهمنشی محاسبه شده را به ترتیب در جداول‌های ۱، ۲، ۳ و ۴

جدول ۲. رأس‌های برهمنشی لپتون‌ها در SME.

 Z^0, ν	$\frac{-ie}{\sin \theta_W \cos \theta_W} \left\{ \left[\left(-\frac{1}{2} + \sin^2 \theta_W \right) \gamma_\nu + \frac{(\cos^2 \theta_W - \sin^2 \theta_W)}{2} ((c_L)_{\mu\nu} + (d_L)_{\mu\nu}) \gamma^\mu \right] \frac{(1 - \gamma_5)}{2} \right. \\ \left. + [\sin^2 \theta_W (\gamma_\nu + (d_R)_{\mu\nu} \gamma^\mu - (c_R)_{\mu\nu} \gamma^\mu)] \frac{(1 + \gamma_5)}{2} \right\}$ $\mathbf{A = B}$ برای	
 W, μ	$\frac{i}{\sqrt{2}} (\gamma_\nu + (c_L)_{\mu\nu} \gamma^\mu + (d_L)_{\mu\nu} \gamma^\mu) \frac{(1 - \gamma_5)}{2}$ $\mathbf{A = B}$ برای	
 H	$-i \left(\frac{e}{2 \sin \theta_W M_W} m_{l_A} + \frac{1}{4\sqrt{2}} \sigma^{\mu\nu} H_{l_A \nu} \right)$ $\mathbf{A \neq B}$ برای	
 p, μ	رأس فرمیون-فوتون	$-ie(\gamma^\mu + c^{\mu\nu} \gamma_\nu + d^{\nu\mu} \gamma^5 \gamma_\nu)$

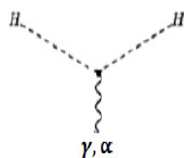
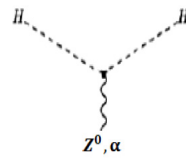
جدول ۳. رأس‌های برهمنشی کوارک‌ها و بوزون‌ها در SME.

 Z^0, ν	$\frac{-ie}{\sin \theta_W \cos \theta_W} \left[\left(\frac{1}{2} - \frac{2}{3} \sin^2 \theta_W \right) \gamma_\nu + \frac{1}{2} (c_Q)_{\mu\nu AB} \left(\cos^2 \theta_W - \frac{1}{3} \sin^2 \theta_W \right) \gamma^\mu \right] \frac{(1 - \gamma_5)}{2} \\ - \frac{2}{3} \sin^2 \theta_W [\gamma_\nu + (c_U)_{\mu\nu AB} \gamma^\mu] \frac{(1 + \gamma_5)}{2}$
 Z^0, ν	$\frac{-ie}{\sin \theta_W \cos \theta_W} \left[\left(-\frac{1}{2} + \frac{1}{3} \sin^2 \theta_W \right) \gamma_\nu - \frac{1}{2} (c_Q)_{\mu\nu AB} \left(\cos^2 \theta_W + \frac{1}{3} \sin^2 \theta_W \right) \gamma^\mu \right] \frac{(1 - \gamma_5)}{2} \\ + \left[\frac{1}{3} \sin^2 \theta_W \gamma_\nu + \frac{1}{3} (c_D)_{\mu\nu AB} \sin^2 \theta_W \gamma^\mu \right] \frac{(1 + \gamma_5)}{2}$
 W^-, ν	$-\frac{1}{\sqrt{2}} [(c_Q)_{\mu\nu} \gamma^\mu \cos \theta_C \pm (\gamma_\nu + (c_Q)_{\mu\nu} \gamma^\mu) \sin \theta_C] \frac{(1 - \gamma_5)}{2}$ <p>علامت مثبت برای رأس s-u-W و علامت منفی برای رأس d-c-W به کار می‌رود.</p> $-\frac{1}{\sqrt{2}} [(\gamma_\nu + (c_Q)_{\mu\nu} \gamma^\mu) \cos \theta_C \pm (c_Q)_{\mu\nu} \gamma^\mu \sin \theta_C] \frac{(1 - \gamma_5)}{2}$ <p>علامت مثبت برای رأس d-u-W و علامت منفی برای رأس s-c-W به کار می‌رود.</p>
 W^+, ν	$-\frac{1}{\sqrt{2}} [(\gamma_\nu + (c_Q)_{\mu\nu} \gamma^\mu) \cos \theta_C \pm (c_Q)_{\mu\nu} \gamma^\mu \sin \theta_C] \gamma^\mu \frac{(1 - \gamma_5)}{2}$ <p>علامت مثبت برای رأس c-d-W و علامت منفی برای رأس u-s-W به کار می‌رود.</p> $-\frac{1}{\sqrt{2}} [(\gamma_\nu + (c_Q)_{\mu\nu} \gamma^\mu) \cos \theta_C \pm (c_Q)_{\mu\nu} \gamma^\mu \sin \theta_C] \gamma^\mu \frac{(1 - \gamma_5)}{2}$ <p>علامت مثبت برای رأس c-s-W و علامت منفی برای رأس u-d-W به کار می‌رود.</p>

	$W^+ W^- Z^0$ $ie \cot \theta_W \left\{ [g_{\rho\sigma}(k_1 - k_2)_0 + g_{\sigma\delta}(k_2 - k_\gamma)_\rho + g_{\rho\delta}(k_\gamma - k_1)_\sigma] \right.$ $+ \frac{1}{2} \{ (k_W)_{\sigma\delta\mu\rho} [(k_1 - k_2)^\mu + k_3^\mu] + (k_W)_{\rho\delta\sigma\nu} [(k_2 - k_1)^\nu + k_3^\nu] + (k_W)_{\kappa\rho\sigma\delta} [(k_1 + k_2)^\kappa + k_3^\kappa] \}$ $\left. + (k_W)_{\rho\lambda\delta\sigma} [(k_1 - k_2)^\lambda - k_3^\lambda] - 5(k_2)_\kappa \epsilon_{\rho\sigma\delta}^\kappa \} \right\}$
--	---

جدول ۴. رأس‌های برهم‌کنشی ذره هیگز در SME.

	$-i \left(\frac{e}{2 \sin \theta_W M_W} \frac{m_{l_A}}{M_W} + \frac{1}{4\sqrt{2}} \sigma^{\mu\nu} H_{l_A \mu\nu} \right)$
	$-i \left(\frac{e}{2 \sin \theta_W M_W} \frac{m_{U_A}}{M_W} + \frac{1}{4\sqrt{2}} \sigma^{\mu\nu} H_{U_A \mu\nu} \right)$
	$-i \left(\frac{e}{2 \sin \theta_W M_W} \frac{m_{D_A}}{M_W} + \frac{1}{4\sqrt{2}} \sigma^{\mu\nu} H_{D_A \mu\nu} \right)$
	$[2 - (k_{\phi\phi})^{\mu\nu}] \frac{ie}{\sin 2 \theta_W} M_Z g_{\mu\nu}$
	$\left[\frac{g}{4 \cos \theta_W} (k_{\phi\phi})^{\mu\nu} (P^+ + P)_\mu + \frac{1}{2} \left((k_{\phi\phi})^{\mu\nu} \sin \theta_W + \frac{1}{2} (k_{\phi W})^{\mu\nu} \cos \theta_W \right) k_\mu + \frac{1}{2} g (k_\phi)^{\mu\nu} \left(\cos \theta_W + \frac{\sin^2 \theta_W}{\cos \theta_W} \right) \right]$
	$\left[\frac{1}{2} \cos \theta_W (k_{\phi\phi})^{\mu\nu} k_\mu - \frac{1}{4} \sin \theta_W (k_{\phi W})^{\mu\nu} k_\mu \right]$

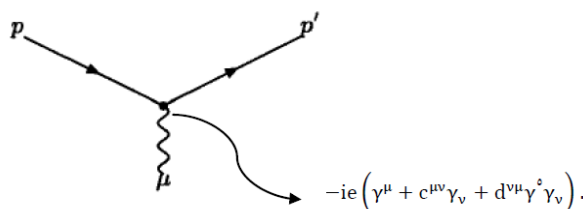
شکل ۲. رأس γHH شکل ۱ رأس $Z^0 HH$.

$$\begin{aligned} &= \bar{\psi} \left(\gamma^\mu p_\mu - m - b_\mu \gamma_5 \gamma^\mu - \frac{1}{\sqrt{2}} H_{\mu\nu} \sigma^{\mu\nu} + c_{\mu\nu} \gamma^\nu p^\mu \right) \psi \\ &+ e \bar{\psi} \left(\gamma^\mu + c^{\mu\nu} \gamma_\nu + d^{\mu\nu} \gamma_5 \gamma_\nu p^\mu \right) \psi + d_{\mu\nu} \bar{\psi} \gamma_5 \gamma^\nu p^\mu \psi. \end{aligned} \quad (32)$$

معادله دیراک تغییر یافته، انتشارگر و فاکتور رأس را برای برهمن کنش الکترون با فوتون به شکل زیر به دست می آوریم:

$$\begin{aligned} &(\gamma^\mu p_\mu - m - b_\mu \gamma_5 \gamma^\mu - \frac{1}{\sqrt{2}} H_{\mu\nu} \sigma^{\mu\nu} \\ &+ c_{\mu\nu} \gamma^\nu p^\mu + d_{\mu\nu} \gamma_5 \gamma^\nu p^\mu) \psi = 0, \end{aligned} \quad (33)$$

$$S = \frac{1}{(\gamma^\mu p_\mu - m - b_\mu \gamma_5 \gamma^\mu - \frac{1}{\sqrt{2}} H_{\mu\nu} \sigma^{\mu\nu} + c_{\mu\nu} \gamma^\nu p^\mu + d_{\mu\nu} \gamma_5 \gamma^\nu p^\mu)} \quad (34)$$



با استفاده از معادله دیراک تغییر یافته و به کار بردن ماتریس‌های γ^μ در نمایش وایل، می‌توانیمتابع حالت جدید ذره را محاسبه کیم:

$$\begin{aligned} \gamma^\circ &= \begin{pmatrix} 0 & 1 \\ 1 & 0 \end{pmatrix}, \gamma^i = \begin{pmatrix} 0 & \sigma^i \\ -\sigma^i & 0 \end{pmatrix}, \gamma_5 = \begin{pmatrix} -1 & 0 \\ 0 & 1 \end{pmatrix}, \\ \psi &= u_s e^{-ip \cdot x}, u_s = \begin{pmatrix} u_A \\ u_B \end{pmatrix} \\ (\gamma^\mu p_\mu - m - b_\mu \gamma_5 \gamma^\mu - \frac{1}{\sqrt{2}} H_{\mu\nu} \sigma^{\mu\nu} \\ &+ c_{\mu\nu} \gamma^\nu p^\mu + d_{\mu\nu} \gamma_5 \gamma^\nu p^\mu) \psi = 0, \\ (\gamma^\circ p_\circ - \gamma^i p_i - m - b_\circ \gamma_5 \gamma^\circ + b_i \gamma_5 \gamma^i - \frac{1}{\sqrt{2}} (H_{i\circ} - H_{\circ i}) \sigma^{i\circ} \\ &- c_{\mu\circ} \gamma^\circ p^\mu + c_{\mu i} \gamma^i p^\mu + d_{\mu\circ} \gamma_5 \gamma^\circ p^\mu \end{aligned}$$

$$L_{\gamma HH}^{CPT} = -\frac{1}{4} \left((k_{\phi B})^{\mu\nu} \cos \theta_W - \frac{1}{\sqrt{2}} (k_{\phi W})^{\mu\nu} \sin \theta_W \right) H^\nu F_{\mu\nu}, \quad (30)$$

$$\frac{1}{2} \cos \theta_W (k_{\phi B})^{\alpha\mu} k_\mu - \frac{1}{4} \sin \theta_W (k_{\phi W})^{\alpha\mu} k_\mu. \quad (31)$$

با توجه به اهمیت شکست تقارن لورنتس در مقیاس پلانک در نظریه‌هایی مانند نظریه ریسمان، این امر مهم به نظر می‌رسد که قواعد فاینمن را با فرض شکست تقارن لورنتس حساب کنیم. با در دست داشتن این قواعد می‌توانیم برهمن کنش بین ذرات را به طور دقیقتر مورد بررسی قرار دهیم. با توجه به وجود اختلافاتی در حد دقت‌های آزمایشگاهی بین خواص ذره و پاد ذره متناظر، از قبیل ضریب ژیرو-مغناطیسی، با به کار بردن این قواعد در برهمن کنش‌ها می‌توان این اختلاف‌ها را توجیه کرده و با مقایسه داده‌های تجربی با مقادیر نظری روی ضرایب نقض لورنتس حد گذاشت. نتیجه دیگری که می‌توان گرفت، وجود رأس‌های جدید ZHH و γHH برای ذره هیگز است (۳۰، ۳۱) که می‌تواند نوید دهنده کانال‌های جدید برای ذره هیگز باشد.

QED :

برای مورد خاص برهمن کنش الکترون با فوتون، لاغرانژی برهمن کنشی به شکل زیر بسط داده می‌شود:

$$\begin{aligned} L_{lepton}^{CPT-even} &= \frac{1}{\sqrt{2}} i \bar{\psi} \gamma^\mu \bar{D}_\mu \psi - m_A \bar{\psi} \psi - \frac{1}{\sqrt{2}} (H_L)_{\mu\nu} \bar{\psi} \sigma^{\mu\nu} \psi \\ &+ \frac{1}{\sqrt{2}} i (c_l)_{\mu\nu} \bar{\psi} \gamma^\mu \bar{D}^\nu \psi + \frac{1}{\sqrt{2}} i (d_l)_{\mu\nu} \bar{\psi} \gamma_5 \gamma^\mu \bar{D}^\nu \psi \\ &- (b_l)_\mu \bar{\psi} \gamma_5 \gamma^\mu \psi = i \bar{\psi} \gamma^\mu (\partial_\mu - ie A_\mu) \psi - m_e \bar{\psi} \psi \\ &- \frac{1}{\sqrt{2}} (H_L)_{\mu\nu} \bar{\psi} \sigma^{\mu\nu} \psi + i (c_l)_{\mu\nu} \bar{\psi} \gamma^\mu (\partial^\nu - ie A^\nu) \psi \\ &+ i (d_l)_{\mu\nu} \bar{\psi} \gamma_5 \gamma^\mu (\partial^\nu - ie A^\nu) \psi - (b_l)_\mu \bar{\psi} \gamma_5 \gamma^\mu \psi \end{aligned}$$

$$\begin{aligned} & \times (v+H) \left(\partial_\nu - ig \frac{\vec{\tau}}{\gamma} \overrightarrow{A}_\nu - ig \frac{\gamma}{\gamma} B_\nu' \right) (v+H) \chi \\ &= \frac{\gamma}{\gamma} \left(k_{\varphi\varphi} \right)^{\mu\nu} \chi^* \left[\left(\partial_\mu + ig \frac{\vec{\tau}}{\gamma} \overrightarrow{A}_\mu + ig \frac{\gamma}{\gamma} B_\mu' \right) H \right. \\ & \quad \left. + v \left(\partial_\mu + ig \frac{\vec{\tau}}{\gamma} \overrightarrow{A}_\mu + ig \frac{\gamma}{\gamma} B_\mu' \right) \right] \times \\ & \left[\left(\partial_\nu - ig \frac{\vec{\tau}}{\gamma} \overrightarrow{A}_\nu - ig \frac{\gamma}{\gamma} B_\nu' \right) H \right. \\ & \quad \left. + v \left(\partial_\nu - ig \frac{\vec{\tau}}{\gamma} \overrightarrow{A}_\nu - ig \frac{\gamma}{\gamma} B_\nu' \right) \right] \chi. \end{aligned} \quad (41)$$

باتبدیلات زیر، معادله بالا را ساده می کنیم:

$$W_\mu^\pm = \frac{A_\mu^\pm \mp i A_\mu'}{\sqrt{2}}, \quad (42)$$

$$= \begin{pmatrix} \cos \theta_W & -\sin \theta_W \\ \sin \theta_W & \cos \theta_W \end{pmatrix} \begin{pmatrix} A_\mu' \\ B_\mu' \end{pmatrix}, \tan \theta_W = \frac{g'}{g},$$

$$\begin{aligned} & \frac{\gamma}{\gamma} \left(k_{\varphi\varphi}^S + ik_{\varphi\varphi}^A \right)^{\mu\nu} \left(D_\mu \varphi \right)^* D_\nu \varphi \\ &= \frac{\gamma}{\gamma} \left(k_{\varphi\varphi}^S + ik_{\varphi\varphi}^A \right)^{\mu\nu} \left\{ \frac{\gamma}{\gamma} \partial_\mu H \partial_\nu \right. \\ & \quad \left. + \frac{v' g'}{\Lambda} \left(\gamma W_\mu^+ W_\nu^- + \frac{\gamma}{\cos \theta_W} Z_\mu Z_\nu \right) \right. \\ & \quad \left. + \frac{\gamma v H g'}{\Lambda} \left(\gamma W_\mu^+ W_\nu^- + \frac{\gamma}{\cos \theta_W} Z_\mu Z_\nu \right) \right. \\ & \quad \left. + \frac{H' g'}{\Lambda} \left(\gamma W_\mu^+ W_\nu^- + \frac{\gamma}{\cos \theta_W} Z_\mu Z_\nu \right) \right. \\ & \quad \left. + \frac{i v g}{\gamma} \left(\partial_\mu H A_\nu' - \partial_\nu H A_\mu' \right) + \frac{i v g'}{\gamma} \left(\partial_\mu H B_\nu' - \partial_\nu H B_\mu' \right) \right. \\ & \quad \left. + \frac{i H g}{\gamma} \left(\partial_\mu H A_\nu' - \partial_\nu H A_\mu' \right) + \frac{i H g'}{\gamma} \left(\partial_\mu H B_\nu' - \partial_\nu H B_\mu' \right) \right\} \\ &= \frac{\gamma}{\gamma} \left(k_{\varphi\varphi}^S + ik_{\varphi\varphi}^A \right)^{\mu\nu} \left\{ \frac{\gamma}{\gamma} \partial_\mu H \partial_\nu + \frac{g'}{\Lambda} \left(H' + \gamma v H \right) \right. \\ & \quad \left[\gamma W_\mu^+ W_\nu^- + \frac{\gamma}{\cos \theta_W} Z_\mu Z_\nu \right] + M_W^* W_\mu^+ W_\nu^- + \frac{\gamma}{\gamma} M_Z^* Z_\mu Z_\nu \} \\ & \quad - \frac{\gamma}{\gamma} \left(k_{\varphi\varphi}^A \right)^{\mu\nu} \frac{g Z_\mu}{\cos \theta_W} (\gamma \partial_\nu H + H \partial_\nu H), \end{aligned} \quad (43)$$

در معادله بالاجرم‌های M_Z و M_W به شکل زیر جایگذاری شده‌اند:

$$M_W = \frac{\gamma}{\gamma} g v, \quad (44)$$

$$M_Z = \frac{\gamma}{\gamma} v \sqrt{g' + g'} = \frac{M_W}{\cos \theta_W}. \quad (44)$$

$$\begin{aligned} & - d_{\mu i} \gamma_5 \gamma^i p^\mu) u_s e^{-ip.x} = 0, \\ & \begin{pmatrix} -(m + (H_{i*} - H_{i*})) & p.\sigma + c^{\mu\nu} p_\mu \sigma^\mu + b_\mu \sigma^\mu - d^{\mu\nu} p_\mu \sigma_\nu \\ p.\bar{\sigma} + c^{\mu\nu} p_\mu \bar{\sigma}_\nu - b_\mu \bar{\sigma}^\mu + d^{\mu\nu} p_\mu \bar{\sigma}_\nu & -(m + (H_{i*} - H_{i*})) \end{pmatrix} \end{aligned} \quad (45)$$

$$u_A = \frac{p.\sigma + c^{\mu\nu} p_\mu \sigma^\mu + b_\mu \sigma^\mu - d^{\mu\nu} p_\mu \sigma_\nu}{(m + (H_{i*} - H_{i*}))} u_B, \quad (46)$$

$$u_A = \frac{p.\bar{\sigma} + c^{\mu\nu} p_\mu \bar{\sigma}_\nu - b_\mu \bar{\sigma}^\mu + d^{\mu\nu} p_\mu \bar{\sigma}_\nu}{(m + (H_{i*} - H_{i*}))} u_B, \quad (47)$$

با بهنجارش u_E نسبت به $2E$ ، u_A و u_E را به شکل زیر پیدا می کنیم:

$$u_s = \begin{cases} \sqrt{\frac{m(p.\sigma + c^{\mu\nu} p_\mu \sigma^\mu + b_\mu \sigma^\mu - d^{\mu\nu} p_\mu \sigma_\nu)}{(m + (H_{i*} - H_{i*}))}} \xi \\ \sqrt{\frac{m(p.\bar{\sigma} + c^{\mu\nu} p_\mu \bar{\sigma}_\nu - b_\mu \bar{\sigma}^\mu + d^{\mu\nu} p_\mu \bar{\sigma}_\nu)}{(m + (H_{i*} - H_{i*}))}} \xi \end{cases}. \quad (48)$$

در نظریه الکترووضعیف، برای وقتی که نقض تقارن لورنتس در نظر گرفته می شود، به قسمت برهم‌کنش هیگز جملاتی به شکل زیر اضافه می شوند:

$$\begin{aligned} L_{Higgs}^{CPT-even} &= \frac{\gamma}{\gamma} \left(k_{\varphi\varphi} \right)^{\mu\nu} \left(D_\mu \varphi \right)^* D_\nu \varphi, + h.c. \\ & - \frac{\gamma}{\gamma} \left(k_{\varphi B} \right)^{\mu\nu} \varphi^* \varphi B_{\mu\nu} - \frac{\gamma}{\gamma} \left(k_{\varphi W} \right)^{\mu\nu} \varphi^* W_{\mu\nu} \varphi, \end{aligned} \quad (49)$$

$$L_{Higgs}^{CPT-odd} = i \left(k_\varphi \right)^\mu \varphi^* D_\mu \varphi, + h.c. \quad (50)$$

با وارد کردن مشتقات هموردا و میدان اسکالاری هیگز جمله اول قسمت CPT-even به شکل زیر خواهد بود:

$$\begin{aligned} & \frac{\gamma}{\gamma} \left(k_{\varphi\varphi} \right)^{\mu\nu} \left(D_\mu \varphi \right)^* D_\nu \varphi = \frac{\gamma}{\gamma} \left(k_{\varphi\varphi} \right)^{\mu\nu} \\ & \quad \times \left(\partial_\mu + ig \frac{\vec{\tau}}{\gamma} \overrightarrow{A}_\mu + ig \frac{\gamma}{\gamma} B_\mu' \right) \varphi^* \\ & \quad \times \left(\partial_\nu - ig \frac{\vec{\tau}}{\gamma} \overrightarrow{A}_\nu - ig \frac{\gamma}{\gamma} B_\nu' \right) \varphi \\ &= \frac{\gamma}{\gamma} \left(k_{\varphi\varphi} \right)^{\mu\nu} \chi^* \left(\partial_\mu + ig \frac{\vec{\tau}}{\gamma} \overrightarrow{A}_\mu + ig \frac{\gamma}{\gamma} B_\mu' \right) \end{aligned}$$

$$L_{ZZH}^{CPT} = -\frac{1}{\Lambda} (k_{\phi\phi})^{\mu\nu} \frac{g^\tau}{\cos^\tau \theta_W} v H Z_\mu Z_\nu, \quad (50)$$

$$\begin{aligned} L_{ZHH}^{CPT} &= \frac{1}{\Lambda} (k_{\phi\phi})^{\mu\nu} \frac{ig}{\cos \theta_W} [Z_\nu H \partial_\mu H - Z_\mu H \partial_\nu H] \\ &+ \frac{1}{\Lambda} \left((k_{\phi B})^{\mu\nu} \sin \theta_W + \frac{1}{\Lambda} (k_{\phi W})^{\mu\nu} \cos \theta_W \right) H^\tau Z_{\mu\nu} \\ &+ \frac{1}{\Lambda} (k_\phi)^{\mu} g \left(\cos \theta_W + \frac{\sin^\tau \theta_W}{\cos \theta_W} \right) H^\tau Z_\mu, \end{aligned} \quad (51)$$

$$\begin{aligned} L_{\gamma HH}^{CPT} &= -\frac{1}{\Lambda} (k_{\phi B})^{\mu\nu} \cos \theta_W \\ &- \frac{1}{\Lambda} (k_{\phi W})^{\mu\nu} \sin \theta_W H^\tau F_{\mu\nu}, \end{aligned} \quad (52)$$

$$L_{ZZHH}^{CPT} = -\frac{1}{16} (k_{\phi\phi})^{\mu\nu} \frac{g^\tau}{\cos^\tau \theta_W} H^\tau Z_\mu Z_\nu, \quad (53)$$

$$L_{WWHH}^{CPT} = -\frac{1}{\Lambda} (k_{\phi\phi})^{\mu\nu} g^\tau H^\tau W_\mu^+ W_\nu^-. \quad (54)$$

در اینجا دیده می‌شود که علاوه بر اینکه به جملات راسی در برهم‌کنش هیگز در مدل استاندارد مقادیری اضافه می‌شود رأس‌هایی به دست می‌آیند که در مدل استاندارد وجود ندارند. لاغرانژی مربوط به این رأس‌ها L_{ZHH}^{CPT} و $L_{\gamma HH}^{CPT}$ هستند.

برای به دست آوردن انتشارگر ذره هیگز در مدل استاندارد تعمیم یافته جملاتی که فقط شامل میدان هیگز از مرتبه دو هستند را انتخاب می‌کنیم. در این صورت معادله حرکت به شکل زیر خواهد شد:

$$\left(p^\tau - \frac{1}{\Lambda} (k_{\phi\phi})^{\mu\nu} p_\mu p_\nu + i (k_\phi)^{\mu} p_\mu - M_H^\tau \right) H = 0, \quad (55)$$

با توجه به رابطه بالا، انتشارگر ذره هیگز به شکل زیر در خواهد آمد:

$$S = \frac{1}{\left(p^\tau + \frac{1}{\Lambda} (k_{\phi\phi})^{\mu\nu} p_\mu p_\nu + \frac{1}{\Lambda} i (k_\phi)^{\mu} p_\mu - \mu^\tau \right)}. \quad (56)$$

⋮

قسمت فرمیونی (L_F) لاغرانژی کل در حضور جملات نقض لورنتس، در نظریه الکتروضعیف، تصحیحی به شکل زیر به خود می‌گیرد:

$$\begin{aligned} &\text{دو جمله دیگر لاغرانژی } L_{Higgs}^{CPT-even} \text{ به شکل زیر خواهند بود:} \\ &-\frac{1}{\Lambda} (k_{\phi B})^{\mu\nu} \varphi^* \varphi B_{\mu\nu} = -\frac{1}{\Lambda} (k_{\phi B})^{\mu\nu} (v^\tau + H^\tau + \tau v H) \\ &\times (-Z_{\mu\nu} \sin \theta_W + F_{\mu\nu} \cos \theta_W), \\ &-\frac{1}{\Lambda} (k_{\phi W})^{\mu\nu} \varphi^* W_{\mu\nu} \varphi = -\frac{1}{\Lambda} (k_{\phi W})^{\mu\nu} (v^\tau + H^\tau + \tau v H) \\ &\times \chi^* \left(\frac{\tau}{\Lambda} W^\tau_{\mu\nu} + \frac{\tau}{\Lambda} W^\tau_{\mu\nu} + \frac{\tau}{\Lambda} W^\tau_{\mu\nu} \right) \chi \\ &= \frac{1}{\Lambda} (k_{\phi W})^{\mu\nu} (v^\tau + H^\tau + \tau v H) W^\tau_{\mu\nu} \\ &= \frac{1}{\Lambda} (k_{\phi W})^{\mu\nu} (v^\tau + H^\tau + \tau v H) (Z_{\mu\nu} \cos \theta_W + F_{\mu\nu} \sin \theta_W), \end{aligned}$$

با توجه به اینکه $(k_{\phi W})^{\mu\nu}$ و $(k_{\phi B})^{\mu\nu}$ نسبت به اندیس‌های μ, ν پاد متقارن هستند، خواهیم داشت:

$$\begin{aligned} &-\frac{1}{\Lambda} (k_{\phi B})^{\mu\nu} \varphi^* \varphi B_{\mu\nu} = -\frac{1}{\Lambda} (k_{\phi B})^{\mu\nu} (v^\tau + H^\tau + \tau v H) \\ &\times (-\partial_\nu Z_\mu \sin \theta_W + \partial_\nu A_\mu \cos \theta_W), \\ &-\frac{1}{\Lambda} (k_{\phi W})^{\mu\nu} \varphi^* W_{\mu\nu} \varphi = -\frac{1}{\Lambda} (k_{\phi W})^{\mu\nu} (v^\tau + H^\tau + \tau v H) \\ &\times (\partial_\nu Z_\mu \cos \theta_W + \partial_\nu A_\mu \sin \theta_W). \end{aligned}$$

قسمت CPT-odd لاغرانژی نقض لورنتس و CPT، که در بخش سوم آورده شد، به شکل زیر محاسبه می‌شود:

$$\begin{aligned} L_{Higgs}^{CPT-odd} &= i (k_\phi)^\mu \varphi^* D_\mu \varphi + h.c. \\ &= \frac{1}{\Lambda} i (k_\phi)^\mu (v + H) \chi^* \left(\partial_\mu + ig \frac{\vec{\tau}}{\Lambda} \vec{A}_\mu + ig \frac{1}{\Lambda} \vec{B}_\mu \right) \\ &\times \chi (v + H) + h.c. \\ &= \frac{1}{\Lambda} i (k_\phi)^\mu [v \partial_\mu H - ig v H A_\mu^\tau + ig v H B_\mu^\tau - \frac{ig}{\Lambda} v^\tau A_\mu^\tau \\ &+ ig v^\tau B_\mu^\tau + H \partial_\mu H - \frac{ig}{\Lambda} H^\tau A + \frac{ig}{\Lambda} H^\tau B_\mu^\tau] \\ &= \frac{1}{\Lambda} i (k_\phi)^\mu [(v \partial_\mu H + H \partial_\mu H) - \frac{ig}{\Lambda} [(v H + v^\tau + H^\tau) \\ &\times (\cos \theta_W + \frac{\sin^\tau \theta_W}{\cos \theta_W})] Z_\mu]. \end{aligned} \quad (47)$$

با جمع کردن این لاغرانژی‌ها، قسمت برهم‌کنشی به شکل زیر خواهد بود:

$$\begin{aligned} L_{Higgs}^{CPT} &= L_{WWH}^{CPT} + L_{ZZH}^{CPT} \\ &+ L_{ZHH}^{CPT} L_{\gamma HH}^{CPT} L_{ZZHH}^{CPT} L_{WWHH}^{CPT}, \end{aligned} \quad (48)$$

$$L_{WWH}^{CPT} = -\frac{1}{\Lambda} (k_{\phi\phi})^{\mu\nu} g^\tau v H W_\mu^+ W_\nu^-, \quad (49)$$

$$\begin{aligned}
L_{CC} &= g(c_L)_{\mu\nu AB} \left(J^\mu A^\nu + J^\nu A^\mu \right) \\
&+ \frac{g}{\sqrt{\gamma}} (d_L)_{\mu\nu AB} \left[\left(\overline{L_A} \gamma_\delta \gamma^\mu \frac{\tau}{\gamma} L_B \right) (W^{+\nu} + W^{-\nu}) \right. \\
&\quad \left. - ig (\overline{L_A} \gamma_\delta \gamma^\mu \frac{\tau}{\gamma} L_B) (W^{-\nu} - W^{+\nu}) \right] \\
&= \frac{g}{\sqrt{\gamma}} [(c_L)_{\mu\nu AB} (J^{-\mu} W^{-\nu} + J^{+\mu} W^{+\nu}) \\
&\quad + (d_L)_{\mu\nu AB} (\overline{L_A} \gamma_\delta \gamma^\mu \tau^- L_B W^{-\nu} + \overline{L_A} \gamma_\delta \gamma^\mu \tau^+ L_B W^{+\nu})] \\
&= \frac{g}{\sqrt{\gamma}} \{(c_L)_{\mu\nu AB} (\bar{l}_A \gamma^\mu \frac{(1-\gamma_5)}{\gamma} v_B W^{-\nu} \\
&\quad + \bar{v}_A \gamma^\mu \frac{(1-\gamma_5)}{\gamma} l_B W^{+\nu}) \\
&\quad + (d_L)_{\mu\nu AB} (\bar{l}_A \gamma_\delta \gamma^\mu \frac{(1-\gamma_5)}{\gamma} v_B W^{-\nu} \\
&\quad + \bar{v}_A \gamma_\delta \gamma^\mu \frac{(1-\gamma_5)}{\gamma} l_B W^{+\nu})\} \\
&= \frac{g}{\sqrt{\gamma}} \left((c_L)_{\mu\nu AB} + (d_L)_{\mu\nu AB} \right) [\bar{l}_A \gamma^\mu \frac{(1-\gamma_5)}{\gamma} v_B W^{-\nu} \\
&\quad + \bar{v}_A \gamma^\mu \frac{(1-\gamma_5)}{\gamma} l_B W^{+\nu}] \tag{۶۲}
\end{aligned}$$

لاگرانژی (۵۸)، یک فاکتور رأسی به شکل $-i \frac{g}{\sqrt{2}} \left((c_L)_{\mu\nu AB} + (d_L)_{\mu\nu AB} \right) \gamma^\mu \frac{(1-\gamma_5)}{2}$ برای جریان باردار به دست می‌دهد. برای حالتی که $A=B$ باشد، یعنی وقتی تغییر عدد لپتونی صورت نگیرد، فاکتور رأسی به دست آمده در بالا به مقدار متناظر آن در مدل استاندارد $-i \frac{g}{\sqrt{2}} \gamma_\nu$ اضافه می‌شود و رأس برهمنشی جریان‌های بار دار در مدل استاندارد تعیین یافته را می‌دهد:

$$-i \frac{g}{\sqrt{\gamma}} \left(\gamma_\nu + (c_L)_{\mu\nu AB} + (d_L)_{\mu\nu AB} \right) \gamma^\mu \frac{(1-\gamma_5)}{\gamma}. \tag{۶۳}$$

برای حالتی که $A \neq B$ باشد، یک رأس تغییر طعم به دست می‌آید که در آن عدد لپتونی تغییر می‌کند. نظری این رأس در مدل استاندارد وجود ندارد:

$$-i \frac{g}{\sqrt{\gamma}} \left((c_L)_{\mu\nu AB} + (d_L)_{\mu\nu AB} \right) \gamma^\mu \frac{(1-\gamma_5)}{\gamma}. \tag{۶۴}$$

لاگرانژی جریان خشی را نیز به همان روش لاگرانژی جریان باردار می‌توانیم محاسبه کنیم:

$$\begin{aligned}
L_F^{CPT-even} &= \frac{\gamma}{\gamma} i (c_L)_{\mu\nu AB} \overline{L_A} \gamma^\mu \overline{D}^\nu L_B \\
&\quad + \frac{\gamma}{\gamma} i (c_R)_{\mu\nu AB} \overline{R_A} \gamma^\mu \overline{D}^\nu R_B \\
&\quad + \frac{\gamma}{\gamma} i (d_L)_{\mu\nu} \overline{L_A} \gamma_\delta \gamma^\mu \overline{D}^\nu L_B \\
&\quad + \frac{\gamma}{\gamma} i (d_R)_{\mu\nu} \overline{R_A} \gamma_\delta \gamma^\mu \overline{D}^\nu R_B, \\
L_F^{CPT-even} &= \frac{\gamma}{\gamma} i (c_L)_{\mu\nu AB} \overline{L_A} \gamma^\mu \\
&\quad \times \left(\overrightarrow{\partial}^\nu - ig \frac{\tau}{\gamma} \overrightarrow{A}^\nu - ig \frac{1}{\gamma} \overrightarrow{B}^\nu \right) L_B \\
&\quad + \frac{\gamma}{\gamma} i (c_R)_{\mu\nu AB} \overline{R_A} \gamma^\mu \left(\overrightarrow{\partial}^\nu + ig \frac{1}{\gamma} \overrightarrow{B}^\nu \right) R_B \\
&\quad + \frac{\gamma}{\gamma} i (d_L)_{\mu\nu AB} \overline{L_A} \gamma_\delta \gamma^\mu \left(\overrightarrow{\partial}^\nu - ig \frac{\tau}{\gamma} \overrightarrow{A}^\nu - ig \frac{1}{\gamma} \overrightarrow{B}^\nu \right) L_B \\
&\quad + \frac{\gamma}{\gamma} i (d_R)_{\mu\nu AB} \overline{R_A} \gamma_\delta \gamma^\mu \left(\overrightarrow{\partial}^\nu + ig \frac{1}{\gamma} \overrightarrow{B}^\nu \right) R_B \\
&= \frac{\gamma}{\gamma} i (c_L)_{\mu\nu AB} \overline{L_A} \gamma^\mu \partial^\nu L_B - \frac{\gamma}{\gamma} i (c_L)_{\mu\nu AB} \partial^\nu \overline{L_A} \gamma^\mu L_B \\
&\quad + \frac{\gamma}{\gamma} i (c_R)_{\mu\nu AB} \overline{R_A} \gamma^\mu \partial^\nu R_B - \frac{\gamma}{\gamma} i (c_R)_{\mu\nu AB} \partial^\nu \overline{R_A} \gamma^\mu R_B \\
&\quad + (c_L)_{\mu\nu AB} g \overline{L_A} \gamma^\mu \frac{\tau}{\gamma} L_B \overrightarrow{A}^\nu - \\
&\quad - \frac{g}{\gamma} \left((c_L)_{\mu\nu AB} \overline{L_A} \gamma^\mu L_B + (c_R)_{\mu\nu AB} \overline{R_A} \gamma^\mu R_B \right) \overrightarrow{B}^\nu \\
&\quad + \frac{\gamma}{\gamma} i (d_L)_{\mu\nu AB} \overline{L_A} \gamma_\delta \gamma^\mu \partial^\nu L_B \\
&\quad + \frac{\gamma}{\gamma} i (d_R)_{\mu\nu AB} \overline{R_A} \gamma_\delta \gamma^\mu \partial^\nu R_B \\
&\quad + \frac{\gamma}{\gamma} i (d_L)_{\mu\nu AB} \partial^\nu \overline{L_A} \gamma_\delta \gamma^\mu L_B \\
&\quad + \frac{\gamma}{\gamma} i (d_R)_{\mu\nu AB} \partial^\nu \overline{R_A} \gamma_\delta \gamma^\mu R_B \\
&\quad + (d_L)_{\mu\nu AB} g \overline{L_A} \gamma_\delta \gamma^\mu \frac{\tau}{\gamma} L_B \overrightarrow{A}^\nu \\
&\quad - \frac{g}{\gamma} ((d_L)_{\mu\nu AB} \overline{L_A} \gamma_\delta \gamma^\mu L_B \\
&\quad + (d_R)_{\mu\nu AB} \overline{R_A} \gamma_\delta \gamma^\mu R_B) \overrightarrow{B}^\nu. \tag{۶۸}
\end{aligned}$$

با استفاده از تعریف‌های زیر، لاگرانژی مربوط به جریان باردار را به دست می‌آوریم:

$$L_A = \begin{pmatrix} v_A \\ l_A \end{pmatrix}_L, R_A = (l_A)_R, \overline{J}^\mu = \overline{L_A} \gamma^\mu \frac{\tau}{\gamma} L_B, \tag{۶۹}$$

$$J^{+\mu} = J^\mu + i J^\nu \gamma^\mu = \overline{L_A} \gamma^\mu \tau^+ L_B = \frac{1}{\gamma} \bar{v}_A (1-\gamma_5) L_B, \tag{۷۰}$$

$$J^{-\mu} = J^\mu - i J^\nu \gamma^\mu = \overline{L_A} \gamma^\mu \tau^- L_B = \frac{1}{\gamma} \bar{l}_A (1-\gamma_5) v_B, \tag{۷۱}$$

$$\begin{aligned}
& - (c_R)_{\mu\nu AB} \sin^\gamma \theta_W \left(\bar{f}_{A_R} \gamma^\mu f_{B_R} + \bar{f}'_{A_R} \gamma^\mu f'_{B_R} \right) \\
& + \frac{1}{\gamma} (d_L)_{\mu\nu AB} \cos^\gamma \theta_W \left(\bar{f}_{A_L} \gamma_\delta \gamma^\mu f_{B_L} + \bar{f}'_{A_L} \gamma_\delta \gamma^\mu f'_{B_L} \right) \\
& - (d_R)_{\mu\nu AB} \sin^\gamma \theta_W \left(\bar{f}_{A_R} \gamma_\delta \gamma^\mu f_{B_R} + \bar{f}'_{A_R} \gamma_\delta \gamma^\mu f'_{B_R} \right) \\
& = \bar{f}_A \gamma^\mu \left\{ \left[\frac{(\cos^\gamma \theta_W - \sin^\gamma \theta_W)}{\gamma} ((c_L)_{\mu\nu AB} + (d_L)_{\mu\nu AB}) \right] \right. \\
& \times \left. \frac{(1-\gamma_\delta)}{\gamma} + \left[\sin^\gamma \theta_W ((d_R)_{\mu\nu AB} - (c_R)_{\mu\nu AB}) \right] \frac{(1+\gamma_\delta)}{\gamma} \right\} f_B \\
& - \bar{f}'_A \gamma^\mu \left\{ \left[\frac{\cos^\gamma \theta_W}{\gamma} ((d_L)_{\mu\nu AB} - (c_L)_{\mu\nu AB}) \right. \right. \\
& \left. \left. - \frac{\sin^\gamma \theta_W}{\gamma} ((d_L)_{\mu\nu AB} + (c_L)_{\mu\nu AB}) \right] \frac{(1-\gamma_\delta)}{\gamma} \right. \\
& \left. + \left[\sin^\gamma \theta_W ((d_R)_{\mu\nu AB} - (c_R)_{\mu\nu AB}) \right] \frac{(1+\gamma_\delta)}{\gamma} f'_B \right\} \quad (64)
\end{aligned}$$

از جریان $J^{Z\mu}$ استفاده می‌کنیم تا فاکتورهای رأسی را برابر برهم کنش لپتون‌ها با بوزون‌های پیمانه‌ای Z° به دست بیاوریم. اگر $A \neq B$ باشد، برای رأس $f_A f_B Z^\circ$ فاکتور رأسی زیر را به دست می‌آوریم:

$$\begin{aligned}
& \frac{-ie}{\sin \theta_W \cos \theta_W} \gamma^\mu \left\{ \left[\frac{(\cos^\gamma \theta_W - \sin^\gamma \theta_W)}{\gamma} \right. \right. \\
& \times \left. \left. ((c_L)_{\mu\nu AB} + (d_L)_{\mu\nu AB}) \right] \frac{(1-\gamma_\delta)}{\gamma} \right. \\
& \left. + \left[\sin^\gamma \theta_W ((d_R)_{\mu\nu AB} - (c_R)_{\mu\nu AB}) \right] \frac{(1+\gamma_\delta)}{\gamma} \right\}, \quad (65)
\end{aligned}$$

و برای رأس $f'_A f'_B Z^\circ$ فاکتور رأسی زیر را به دست می‌آوریم:

$$\begin{aligned}
& \frac{-ie}{\sin \theta_W \cos \theta_W} \gamma^\mu \left\{ \left[\frac{\cos^\gamma \theta_W}{\gamma} ((d_L)_{\mu\nu AB} - (c_L)_{\mu\nu AB}) \right. \right. \\
& - \frac{\sin^\gamma \theta_W}{\gamma} ((d_L)_{\mu\nu AB} + (c_L)_{\mu\nu AB}) \left. \right] \frac{(1-\gamma_\delta)}{\gamma} \\
& \left. + \left[\sin^\gamma \theta_W ((d_R)_{\mu\nu AB} - (c_R)_{\mu\nu AB}) \right] \frac{(1+\gamma_\delta)}{\gamma} \right\} \quad (66)
\end{aligned}$$

برای حالتی که $A=B$ باشد، هر کدام از این جملات به معادل آنها در مدل استاندارد اضافه می‌شوند و فاکتورهای رأسی به دست می‌دهد.

مانند بخش فرمیونی، برای بخش کوارکی نیز می‌توانیم جریان‌های باردار و خنثی را در حضور جملات نقض لورنتس و CPT به دست بیاوریم.

$$\begin{aligned}
L_{NC} &= g [J_V^\gamma + (c_L)_{\mu\nu} J^{\gamma\mu} \\
&+ (d_L)_{\mu\nu} (\bar{v}_A \gamma_\delta \gamma^\mu v_A - \bar{l}_{A_L} \gamma_\delta \gamma^\mu l_{A_L})] A^{\gamma\nu} \\
&+ \frac{g}{\gamma} [J_V^Y + (c_L)_{\mu\nu} \bar{L}_A \gamma^\mu L_A + (c_R)_{\mu\nu} \bar{R}_A \gamma^\mu R_A] \\
&+ (d_L)_{\mu\nu} \bar{L}_A \gamma_\delta \gamma^\mu L_A + (d_R)_{\mu\nu} \bar{R}_A \gamma_\delta \gamma^\mu R_A] B^\nu \\
&= \{g [J_V^Y + (c_L)_{\mu\nu} \bar{L}_A \gamma^\mu L_A + (c_R)_{\mu\nu} \bar{R}_A \gamma^\mu R_A] \\
&+ (d_L)_{\mu\nu} \bar{L}_A \gamma_\delta \gamma^\mu L_A + (d_R)_{\mu\nu} \bar{R}_A \gamma_\delta \gamma^\mu R_A] \sin \theta_W \\
&+ \frac{g}{\gamma} [J_V^Y + (c_L)_{\mu\nu} \bar{L}_A \gamma^\mu L_A + (c_R)_{\mu\nu} \bar{R}_A \gamma^\mu R_A] \\
&+ (d_L)_{\mu\nu} \bar{L}_A \gamma_\delta \gamma^\mu L_A \\
&+ (d_R)_{\mu\nu} \bar{R}_A \gamma_\delta \gamma^\mu R_A] \cos \theta_W \} A^\nu \\
&+ \{g J_V^\gamma + (c_L)_{\mu\nu} J_V^{\gamma\mu} + (d_L)_{\mu\nu} \\
&\times (\bar{v}_A \gamma_\delta \gamma^\mu v_A - \bar{l}_{A_L} \gamma_\delta \gamma^\mu l_{A_L}) \cos \theta_W \\
&- \frac{g}{\gamma} [J_V^Y + (c_L)_{\mu\nu} \bar{L}_A \gamma^\mu L_A + (c_R)_{\mu\nu} \bar{R}_A \gamma^\mu R_A] \\
&+ (d_L)_{\mu\nu} \bar{L}_A \gamma_\delta \gamma^\mu L_A + (d_R)_{\mu\nu} \bar{R}_A \gamma_\delta \gamma^\mu R_A] \sin \theta_W \} Z^\nu, \quad (65)
\end{aligned}$$

$$\begin{aligned}
& \text{از روی این لاگرانژی جریان } J^{Z\mu} \text{ را به دست می‌آوریم:} \\
J^{Z\mu} &= \{ [(c_L)_{\mu\nu AB} J^{\gamma\mu} + (d_L)_{\mu\nu AB} \\
&\times (\bar{v}_A \gamma_\delta \gamma^\mu v_B - \bar{l}_{A_L} \gamma_\delta \gamma^\mu l_{B_L})] \cos^\gamma \theta_W \\
&- \frac{1}{\gamma} [(c_L)_{\mu\nu AB} \bar{L}_A \gamma^\mu L_B + (c_R)_{\mu\nu AB} \bar{R}_A \gamma^\mu R_B] \\
&+ (d_L)_{\mu\nu AB} \bar{L}_A \gamma_\delta \gamma^\mu L_B + (d_R)_{\mu\nu AB} \bar{R}_A \gamma_\delta \gamma^\mu R_B] \sin^\gamma \theta_W \} Z^\nu. \quad (66)
\end{aligned}$$

در ادامه برای لپتون‌های راست دست و چپ دست نمادهای زیر را به کار می‌بریم:

$$L_A = \begin{pmatrix} f_A \\ f_A \end{pmatrix}_L, \quad R^f_A = f_{AR}, \quad R^{f'}_A = f'_{AR}, \quad (67)$$

$$f_A = (e, \mu, \tau), \quad f'_B = (v_e, v_\mu, v_\tau). \quad (68)$$

با جایگذاری روابط (63) و (64) در معادله (62) جریان $J^{Z\mu}$ به شکل زیر در می‌آید:

$$\begin{aligned}
J^{Z\mu} &= \{(c_L)_{\mu\nu AB} \cos^\gamma \theta_W \left(\bar{f}_{A_L} \gamma^\mu f_{B_L} - \frac{1}{\gamma} \bar{f}'_{A_L} \gamma^\mu f'_{B_L} \right) \\
&- \frac{1}{\gamma} (c_L)_{\mu\nu AB} \sin^\gamma \theta_W \left(\bar{f}_{A_L} \gamma^\mu f_{B_L} + \bar{f}'_{A_L} \gamma^\mu f'_{B_L} \right)
\end{aligned}$$

اگر این مقدار را به جمله یوکاوا در مدل استاندارد اضافه کنیم لاگرانژی
یوکاوا در مدل استاندارد تعمیم یافته به شکل زیر در می‌آید:

$$L_{Ykawa}^{SME} = -\left(\overline{e}, \overline{\mu}, \overline{\tau}\right) \begin{pmatrix} m_{ee} & \cdot & \cdot \\ \cdot & m_{\mu\mu} & \cdot \\ \cdot & \cdot & m_{\tau\tau} \end{pmatrix} \begin{pmatrix} e' \\ \mu' \\ \tau' \end{pmatrix} - \frac{H}{v}$$

$$-\left(\overline{e}, \overline{\mu}, \overline{\tau}\right) \begin{pmatrix} m_{ee} & \cdot & \cdot \\ \cdot & m_{\mu\mu} & \cdot \\ \cdot & \cdot & m_{\tau\tau} \end{pmatrix} \begin{pmatrix} e' \\ \mu' \\ \tau' \end{pmatrix}$$

$$-\left(1 + \frac{H}{v}\right) \left(\overline{u}, \overline{c}, \overline{t}\right) \sigma^{\mu\nu}$$

$$\times \begin{pmatrix} \frac{v}{\sqrt{4}} H_{uu} & \cdot & \cdot \\ \cdot & \frac{v}{\sqrt{2}} H_{cc} & \cdot \\ \cdot & \cdot & \frac{v}{\sqrt{2}} H_{tt} \end{pmatrix}_{\mu\nu} \begin{pmatrix} u' \\ c' \\ t' \end{pmatrix}$$

$$-\left(1 + \frac{H}{v}\right) \left(\overline{d}, \overline{s}, \overline{b}\right) \sigma^{\mu\nu}$$

$$\times \begin{pmatrix} \frac{v}{\sqrt{4}} H_{dd} & \cdot & \cdot \\ \cdot & \frac{v}{\sqrt{2}} H_{ss} & \cdot \\ \cdot & \cdot & \frac{v}{\sqrt{2}} H_{bb} \end{pmatrix}_{\mu\nu} \begin{pmatrix} d' \\ s' \\ b' \end{pmatrix}$$

$$-\left(1 + \frac{H}{v}\right) \left(\overline{e}, \overline{\mu}, \overline{\tau}\right) \sigma^{\mu\nu}$$

$$\times \begin{pmatrix} \frac{v}{\sqrt{2}} H_{ee} & \cdot & \cdot \\ \cdot & \frac{v}{\sqrt{2}} H_{\mu\mu} & \cdot \\ \cdot & \cdot & \frac{v}{\sqrt{2}} H_{\tau\tau} \end{pmatrix}_{\mu\nu} \begin{pmatrix} e' \\ \mu' \\ \tau' \end{pmatrix}$$

(V5)

در نتیجه رأس برهم کنشی ذره هیگز با لپتون‌ها و کوارک‌ها به
شکل‌های زیر خواهد بود:

پیوست د: جمله یوکاوا در مدل استاندارد تعمیم یافته
در مدل استاندارد تعمیم یافته، جملاتی به شکل زیر به
لاگرانژی برهم کنش یوکاوا اضافه می‌شود:

$$L_{Ykawa}^{CPT} = -\frac{1}{\sqrt{4}} \{(H_L)_{\mu\nu AB} \bar{L}_A \varphi \sigma^{\mu\nu} R_B + (H_U)_{\mu\nu AB} \bar{Q}_A \varphi \sigma^{\mu\nu} U_B + (H_D)_{\mu\nu AB} \bar{Q}_A \varphi \sigma^{\mu\nu} D_B\} + h.c. \quad (V2)$$

که در آن برای فشرده نویسی لاگرانژی خلاصه نویسی‌های زیر
را انجام داده‌ایم:

$$Q_{Li} = \begin{pmatrix} U_i \\ D_i \end{pmatrix}_L, \quad U_{Ri}, \quad D_{Ri}, \quad i = 1, 2, 3 \quad (V3)$$

اندیس i برای نمایش نسل‌ها به کار رفته است: $U_1 = u$ ، $D_1 = b$ ، $D_2 = s$ ، $D_3 = d$ ، $U_2 = t$ ، $U_3 = c$
دوتایی‌های لپتونی، کوارکی و هیگز، لاگرانژی بالا به شکل زیر
در می‌آید:

$$L_{Ykawa}^{CPT} = -\frac{1}{\sqrt{4}} \{(H_L)_{\mu\nu AB} \bar{L}_A \varphi \sigma^{\mu\nu} R_B + (H_U)_{\mu\nu AB} \bar{Q}_A \varphi \sigma^{\mu\nu} U_B + (H_D)_{\mu\nu AB} \bar{Q}_A \varphi \sigma^{\mu\nu} D_B\} + h.c. \\ = -\frac{1}{\sqrt{4}} \{v(H_L)_{\mu\nu AB} \bar{l}_A \sigma^{\mu\nu} l_{B_R} + H(H_L)_{\mu\nu AB} \bar{l}_A \sigma^{\mu\nu} l_{B_R} \\ + v(H_U)_{\mu\nu AB} \bar{U}_A \sigma^{\mu\nu} U_{B_R} + H(H_U)_{\mu\nu AB} \bar{U}_A \sigma^{\mu\nu} U_{B_R} \\ + v(H_D)_{\mu\nu AB} \bar{D}_A \sigma^{\mu\nu} D_{B_R} + H(H_D)_{\mu\nu AB} \bar{D}_A \sigma^{\mu\nu} D_{B_R}\},$$

$$= -\frac{1}{\sqrt{4}} \{(v+H)(\overline{e}, \overline{\mu}, \overline{\tau}) \sigma^{\mu\nu} \begin{pmatrix} H_{ee} & \cdot & \cdot \\ \cdot & H_{\mu\mu} & \cdot \\ \cdot & \cdot & H_{\tau\tau} \end{pmatrix} \begin{pmatrix} e' \\ \mu' \\ \tau' \end{pmatrix}$$

$$+ (v+H)(\overline{u}, \overline{c}, \overline{t}) \sigma^{\mu\nu} \begin{pmatrix} H_{uu} & \cdot & \cdot \\ \cdot & H_{cc} & \cdot \\ \cdot & \cdot & H_{tt} \end{pmatrix} \begin{pmatrix} u' \\ c' \\ t' \end{pmatrix}$$

$$+ (v+H)(\overline{d}, \overline{s}, \overline{b}) \sigma^{\mu\nu} \begin{pmatrix} H_{dd} & \cdot & \cdot \\ \cdot & H_{ss} & \cdot \\ \cdot & \cdot & H_{bb} \end{pmatrix} \begin{pmatrix} d' \\ s' \\ b' \end{pmatrix}\} \quad (V4)$$

$$\begin{aligned}
 & -i \left(\frac{e}{\sin \theta_W} \frac{m_{U_A}}{M_W} + \frac{\gamma}{\sqrt{2}} \sigma^{\mu\nu} H_{U_{A\mu\nu}} \right), & & :l_A l_A H \text{ برای } (\forall V) \\
 & :D_A D_A H \text{ برای } & & -i \left(\frac{e}{\sin \theta_W} \frac{m_{l_A}}{M_W} + \frac{\gamma}{\sqrt{2}} \sigma^{\mu\nu} H_{l_{A\mu\nu}} \right), & & (\forall \ell) \\
 & -i \left(\frac{e}{\sin \theta_W} \frac{m_{D_A}}{M_W} + \frac{\gamma}{\sqrt{2}} \sigma^{\mu\nu} H_{D_{A\mu\nu}} \right), & & :U_A U_A H \text{ برای } (\forall \Lambda)
 \end{aligned}$$

5. D Colladay and V A Kostelecky, *Phys. Rev. D* **58** (1998) 116002.
6. D Colladay and V A Kostelecky, *Phys. Rev. D* **55** (1997) 6760.
7. O W Greenberg, *Phys. Rev. Lett.* **89** (2002) 231602.
8. R G Sachs, *Prog. Theor. Phys. Suppl.* **86** (1986) 336; University of Chicago Press, Chicago (1987).

1. V Alan Kostelecky and M Meves., *Phys. Rev. D* **66** (2010) 056005.
2. V Alan Kostelecky and Neil Russell, Indiana University , hep-ph/0801.0287v3 (2008).
3. Y-Z Fan, D-M Wei and D Xu, *Mon. R. Astron. Soc.* **376** (2007) 1857.
4. P Cabella P Natioli and Silk, *Phys. Rev. D* **76** (2007) 123014.